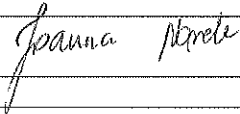


FORMULARZ ZMIANY DANYCH W ZGŁOSZENIU INSTALACJI WYTWARZAJĄCYCH POLA ELEKTROMAGNETYCZNE

I. Wypełnia podmiot prowadzący instalację dokonujący jej zgłoszenia

| | | | | |
|-----|---|--|---|--|
| 1. | Nazwa i adres organu ochrony środowiska właściwego do przyjęcia zgłoszenia <i>Starostwo Powiatowe w Elblągu Wydział Ochrony Środowiska i Rolnictwa ul. Saperów 14A 82-300 Elbląg</i> | | | |
| 2. | Nazwa instalacji zgodna z nazewnictwem stosowanym przez prowadzącego instalację <i>stacja bazowa BT44465 SKOWRONY (ext. 18)</i> | | | |
| 3. | Określenie nazw jednostek terytorialnych (gmin, powiatów i województw), na których terenie znajduje się instalacja, wraz z podaniem symboli KTS ¹⁾ jednostek terytorialnych, na których terenie znajduje się instalacja <i>KTS1 10040000000000 PÓŁNOCNY KTS2 10042800000000 Warmińsko-mazurskie KTS3 10042810000000 Warmińsko-mazurskie KTS4 10042815400000 Elbląski KTS5 10042815404000 elbląski KTS6 10042815404022 Godkowo</i> | | | |
| 4. | Oznaczenie prowadzącego instalację, jego adres zamieszkania lub siedziby <i>Prowadzący instalację: Polkomtel Infrastruktura Sp. z o.o., ul. Konstruktorska 4, 02-673 Warszawa;</i> | | | |
| 5. | Adres zakładu, na którego terenie prowadzona jest eksploatacja instalacji <i>dz. nr 38/3, obręb Skowrony gmina Godkowo; powiat elbląski; województwo warmińsko-mazurskie</i> | | | |
| 6. | Rodzaj instalacji, zgodnie z załącznikiem nr 2 do rozporządzenia Ministra Środowiska z dnia 2 lipca 2010 r. w sprawie zgłoszenia instalacji wytwarzających pola elektromagnetyczne (Dz. U. Nr 130, poz. 880) <i>instalacje radiokomunikacyjne, których równoważna moc promieniowania izotropowo wynosi nie mniej niż 15W, emitujące pola elektromagnetyczne o częstotliwościach od 30 kHz do 300 GHz</i> | | | |
| 7. | Rodzaj i zakres prowadzonej działalności, w tym wielkość produkcji lub wielkość świadczonych usług <i>działalność w zakresie telekomunikacji przewodowej i bezprzewodowej.</i> | | | |
| 8. | Czas funkcjonowania instalacji (dni tygodnia i godziny) <i>7 dni w tygodniu, 24 godziny na dobę</i> | | | |
| 9. | Wielkość i rodzaj emisji ²⁾ <i>sumaryczna moc EIRP anten sektorowych 40308 W sumaryczna moc EIRP anten radioliniowych 2278 W</i> | | | |
| 10. | Opis stosowanych metod ograniczania emisji <i>Parametry stacji bazowej zostały tak dobrane, aby ponadnormatywny poziom pola elektromagnetycznego nie występował w miejscach dostępnych dla ludności.</i> | | | |
| 11. | Informacja, czy stopień ograniczania wielkości emisji jest zgodny z obowiązującymi przepisami <i>W miejscach dostępnych dla ludności poziom pola elektromagnetycznego nie przekracza wartości ponadnormatywnych.</i> | | | |
| 12. | Szczegółowe dane, odpowiednio do rodzaju instalacji, zgodne z wymaganiami określonymi w załączniku nr 2 do rozporządzenia: | | | |
| | 1) współrzędne geograficzne anten | 2) częstotliwość pracy | 3) wysokości środków elektrycznych anten nad poziomem terenu | 4) EIRP - równoważna moc promieniowana izotropowo |
| | | 5) zakresy azymutów i kątów pochylenia osi głównych wiązek promieniowania | | |
| | <i>54-03-52.10N 19-53-11.60E</i> | <i>900 Mhz √</i> | <i>60,00 m</i> | <i>6850 W</i> |
| | <i>54-03-52.10N 19-53-11.60E</i> | <i>900 Mhz √</i> | <i>70,70 m</i> | <i>6694 W</i> |
| | <i>54-03-52.10N 19-53-11.60E</i> | <i>900 Mhz √</i> | <i>60,00 m</i> | <i>6850 W</i> |
| | <i>54-03-52.10N 19-53-11.60E</i> | <i>420 Mhz √</i> | <i>71,00 m</i> | <i>1471 W</i> |
| | <i>54-03-52.10N 19-53-11.60E</i> | <i>420 Mhz √</i> | <i>71,00 m</i> | <i>1471 W</i> |
| | <i>54-03-52.10N 19-53-11.60E</i> | <i>420 Mhz √</i> | <i>71,00 m</i> | <i>1471 W</i> |
| | <i>54-03-52.10N 19-53-11.60E</i> | <i>1800 Mhz √</i> | <i>60,00 m</i> | <i>5167 W</i> |
| | <i>54-03-52.10N 19-53-11.60E</i> | <i>1800 Mhz √</i> | <i>70,70 m</i> | <i>5167 W</i> |
| | <i>54-03-52.10N 19-53-11.60E</i> | <i>1800 Mhz √</i> | <i>60,00 m</i> | <i>5167 W</i> |
| | | | | <i>Azymut 50° Pochylenie 0,5°-9,5°</i> |
| | | | | <i>Azymut 160° Pochylenie 0°-10°</i> |
| | | | | <i>Azymut 290° Pochylenie 0,5°-9,5°</i> |
| | | | | <i>Azymut 0° Pochylenie 0°-0°</i> |
| | | | | <i>Azymut 120° Pochylenie 0°-0°</i> |
| | | | | <i>Azymut 240° Pochylenie 0°-0°</i> |
| | | | | <i>Azymut 50° Pochylenie 1°-10°</i> |
| | | | | <i>Azymut 160° Pochylenie 1°-10°</i> |
| | | | | <i>Azymut 290° Pochylenie 1°-10°</i> |

| | | | | |
|---|-------------|--------------------|-----------|------------|
| 54-03-52.10N 19-53-11.60E | 18 GHz D2 ✓ | 65,30 m | 457,09 W | Azymut 7° |
| 54-03-52.10N 19-53-11.60E | 13 GHz ✓ | 63,30 m | 562,34 W | Azymut 38° |
| 54-03-52.10N 19-53-11.60E | 13 GHz ✓ | 67,30 m | 1258,93 W | Azymut 72° |
| 6) Na podstawie wykonanej analizy stwierdza się, że w odległościach od anten sektorowych, określonych zgodnie z Rozporządzeniem Rady Ministrów z dnia 10 września 2019 r. w sprawie przedsięwzięć mogących znacząco oddziaływać na środowisko (Dz.U z 2019 r. poz. 1839), wzdłuż osi głównych wiązek promieniowania tych anten, nie występują miejsca dostępne dla ludności ✓ | | | | |
| 7) Sprawozdanie z pomiarów poziomów pól elektromagnetycznych – załącznik nr 2 | | | | |
| 13. Miejscowość, data (rok - miesiąc - dzień): Imię i nazwisko osoby reprezentującej prowadzącą instalację | | | | |
|  | | | | |
| Podpis | | Gdynia, 02.07.2020 | | |
| II. Wypełnia organ ochrony środowiska przyjmujący zgłoszenie | | | | |
| Data zarejestrowania zgłoszenia | | Numer zgłoszenia | | |
| | | | | |

Objaśnienia:

- 1) System Kodowania Jednostek Terytorialnych i Statystycznych (KTS) wprowadzony Zarządzeniem wewnętrznym nr 22 Prezesa Głównego Urzędu Statystycznego z dnia 24 sierpnia 2017 r. w sprawie wprowadzenia Systemu Kodowania Jednostek Terytorialnych i Statystycznych
- 2) W przypadku stacji elektroenergetycznych i napowietrznych linii elektroenergetycznych - napięcie znamionowe, a w przypadku pozostałych instalacji - równoważne moce promieniowane izotropowo (EIRP) poszczególnych anten.
- 3) Liczba porządkowa zgodna z numeracją punktów w odpowiednich do rodzaju instalacji ustępach załącznika nr 2 do rozporządzenia.

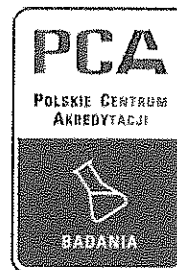


Laboratorium EMVO Sp. J. Urbański, Pawelak

ul. Jasna 1
00-013 Warszawa

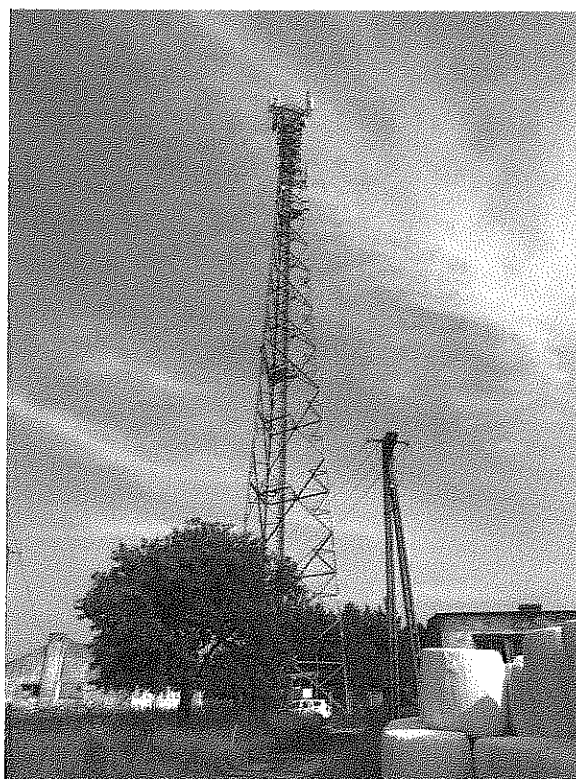
tel. +48 22 780 29 64

e-mail: laboratorium@emvo.pl



AB 1630

Sprawozdanie z pomiarów pól elektromagnetycznych - środowisko ogólne nr 30/06/OŚ/2020 - ELT



| | | |
|-------------------|---|--------------------------|
| Nr i nazwa stacji | BT44465 SKOWRONY | |
| Adres | Skowrony, dz. nr 38/3, pow. elbląski, woj. warmińsko-mazurskie | |
| Opracowanie | Marcin Belicki | Specjalista ds. pomiarów |
| Autoryzacja | Andrzej Urbański | Kierownik Laboratorium |
| Podpis | Podpis jest prawdziwy Dokument podpisany przez: Andrzej Urbański Data: 2020.06.26 14:20:40 CEST Potwierdź Zaliczeniem Rachunkiem | |
| Data | 2020-06-18 | |



Spis treści

| | |
|---|----|
| 1. Informacje ogólne..... | 3 |
| 2. Podstawa prawna..... | 3 |
| 3. Opis pomiarów..... | 3 |
| 4. Zróżnicowanie dopuszczalne poziomy pól elektromagnetycznych..... | 4 |
| 5. Charakterystyka źródeł PEM..... | 4 |
| 6. Wyniki pomiarów..... | 5 |
| 7. Stwierdzenie zgodności..... | 9 |
| 8. Oświadczenie..... | 10 |
| 9. Spis załączników..... | 10 |

1. Informacje ogólne.

| | |
|--|--|
| Zleceniodawca | Axians Networks Poland Sp. z o.o., ul. Żupnicza 17, 03-821 Warszawa osoba udzielająca informacji – Piotr Miliszkiwicz |
| Istotne informacje dostarczone przez zleceniodawcę | komplet informacji niezbędnych do wykonania pomiarów i opracowania sprawozdania |
| Prowadzący instalację | Polkomtel Infrastruktura sp. z o.o., ul. Konstruktorska 4, 02-673 Warszawa |
| Lokalizacja obiektu | Skowrony, dz. nr 38/3, pow. elbląski, woj. warmińsko-mazurskie |
| Miejsce instalacji anten | stalowa wieża kratowa |
| Miejsce instalacji urządzeń | outdoor |
| Osoby wykonujące pomiar | Piotr Kujaszewski |
| Data wykonania pomiaru | 2020-06-18 |
| Temperatura na początku pomiaru [°C] | 21 |
| Temperatura na koniec pomiaru [°C] | 22 |
| Warunki atmosferyczne | Brak opadów. |
| Wilgotność na początku pomiaru [%] | 68 |
| Wilgotność na koniec pomiaru [%] | 69 |
| Inne źródła pól elektromagnetycznych | występują |
| Parametry pracy instalacji | eksploatacyjne |

2. Podstawa prawna.

2.1 Normy i rozporządzenia:

- Rozporządzeniem Ministra Klimatu z dnia 17 lutego 2020 r. w sprawie sposobów sprawdzania dotrzymania dopuszczalnych poziomów pól elektromagnetycznych w środowisku (Dz.U. 2020 poz. 258)
- Rozporządzenie Ministra Zdrowia z dnia 17 grudnia 2019 r. w sprawie dopuszczalnych poziomów pól elektromagnetycznych w środowisku (Dz.U. 2019 poz. 2448)
- Obwieszczenie Marszałka Sejmu Rzeczypospolitej Polskiej z dnia 19 lipca 2019 r. w sprawie ogłoszenia jednolitego tekstu ustawy - Prawo ochrony środowiska (Dz.U. 2019 poz. 1396).

3. Opis pomiarów.

| | |
|--------------------------|--|
| Metodologia pomiarowa | Pomiary w oparciu o Rozporządzeniem Ministra Klimatu z dnia 17 lutego 2020 r. w sprawie sposobów sprawdzania dotrzymania dopuszczalnych poziomów pól elektromagnetycznych w środowisku (Dz.U. 2020 poz. 258). |
| Cel badań | Określenie wartości natężenia pola elektrycznego w miejscach dostępnych dla ludności. |
| Opis zestawu pomiarowego | Miernik Narda NBM 520, Sonda EF 9091, o zakresie pomiarowym 0,7 V/m - 400V/m pracująca w paśmie 0,1 – 90 GHz, świadectwo wydane przez Laboratorium Wzorców i Metrologii Pola Elektromagnetycznego, Instytut Telekomunikacji, Teleinformatyki i Akustyki Politechniki Wrocławskiej. |

Wyposażenie pomocnicze

Świadectwo ważne do 15.07.2021r. Miernik Narda NBM 520, Sonda EF 9091 pracuje w zakresie temperatury -10°C - +50°C oraz wilgotności 5% - 95%
Niepewność rozszerzona wynosi 57,4% przy poziomie ufności 95% z uwzględnieniem współczynnika rozszerzenia k=2.

Termohigrometr Termoprodukt, typ: Termik+, nr identyfikacyjny 700618, świadectwo wzorcowania nr 1763/AH/19 z dn. 29.07.2019 r. wydane przez Laboratorium Pomiarowe "MUTECH".

Przymiar wstępowy STABILA, nr identyfikacyjny 31WL, świadectwo wzorcowania nr 6W1/1826/19 z dn. 02.08.2019 r. wydane przez Dyrektora Okręgowego Urzędu Miar w Gdańsku.

GPS Garmin 64s okresowo sprawdzany w punktach osnowy geodezyjnej klasy 3 na podstawie licencji punktu, zgodnie z procedurą sprawdzeń okresowych IS/PO16-11/03.

Szczególne warunki podczas wykonywania pomiarów

Pomiary wykonane zostały podczas obowiązywania w kraju stanu epidemii, zgodnie z art. 122a ust. 1b Ustawy z dnia 27 kwietnia 2001 r. – Prawo ochrony środowiska (Dz. U. z 2019 r. poz. 1396, z późn. zm.9))

4. Zróżnicowanie dopuszczalne poziomy pól elektromagnetycznych.

Zakresy znajdują się w Dzienniku Ustaw z dnia 17 grudnia 2019 r. przedstawione są w tabeli nr 2 (Dz. U. z 2019r. poz. 2448).

| Parametr fizyczny | Składowa elektryczna E (V/m) | Składowa magnetyczna H (A/m) | Gęstość mocy S (W/m ²) |
|---|------------------------------|------------------------------|------------------------------------|
| Zakres Częstotliwości pola elektromagnetycznego | | | |
| od 400 MHz do 2000 MHz | $1,375 \times f^{0,5}$ | $0,0037 \times f^{0,5}$ | $f / 200$ |
| od 2 GHz do 300 GHz | 61 | 0,16 | 10 |

5. Charakterystyka źródeł PEM.

Zgodnie z informacją otrzymaną od Zleceniodawcy pomiary zostały wykonane przy ustawieniach pochyleń anten zgodnych z pkt. 13, ppkt 2 załącznika do rozporządzenia Ministra Klimatu z dnia 17 lutego 2020 roku.

Anteny sektorowe

| Typ anteny | Współrzędne geograficzne | Azymut [°] | Wysokość zawieszenia anten (środek anteny) n.p.t. [m] | Pasma częstotliwości | Zakres pochylenia elektrycznego [°] | Średnie pochylenie anten (ustawione do pomiarów PEM) [°] | Zakres pochylenia mechanicznego [°] | Moc EIRP [W] |
|--------------|-------------------------------------|------------|---|----------------------|-------------------------------------|--|-------------------------------------|--------------|
| 80010306V02 | E: 19° 53' 11,6" N: 54° 3' 52,1" | 50 | 60,00 | 900 | 0,5 - 9,5 | 5 | 0 | 6850 |
| A794517R0V06 | E: 19° 53' 11,6" N: 54° 3' 52,1" | 160 | 70,70 | 900 | 0 - 10 | 5 | 0 | 6694 |
| 80010306V02 | E: 19° 53' 11,6" N: 54° 3' 52,1" | 290 | 60,00 | 900 | 0,5 - 9,5 | 5 | 0 | 6850 |
| 741516 | E: 19° 53' 11,6" N: 54° 3' 52,1" | 0 | 71,00 | 420 | 0 - 0 | 0 | 0 | 1471 |
| 741516 | E: 19° 53' 11,6" N: 54° 3' 52,1" | 120 | 71,00 | 420 | 0 - 0 | 0 | 0 | 1471 |
| 741516 | E: 19° 53' 11,6" N: 54° 3' 52,1" | 240 | 71,00 | 420 | 0 - 0 | 0 | 0 | 1471 |
| 120125 | E: 19° 53' 11,6" N: 54° 3' 52,1" | 50 | 60,00 | 1800 | 1 - 10 | 5 | 0 | 5167 |
| 120125 | E: 19° 53' 11,6" N: 54° 3' 52,1" | 160 | 70,70 | 1800 | 1 - 10 | 5 | 0 | 5167 |
| 20125 | E: 19° 53' 11,6" N: 54° 3' 52,1" | 290 | 60,00 | 1800 | 1 - 10 | 5 | 0 | 5167 |

Anteny radioliniowe

| Typ anteny | Współrzędne geograficzne | Azymut [°] | Średnica [m] | Pasma częstotliwości [GHz] | Zysk energetyczny [dBi] | Moc wyjściowa nadajnika [dBm] | EIRP [W] | Wysokość zawieszenia anteny n.p.t. [m] |
|----------------------|-------------------------------------|------------|--------------|----------------------------|-------------------------|-------------------------------|----------|--|
| UKY 210 43/SC15 | E: 19° 53' 11,6" N: 54° 3' 52,1" | 7 | 1,2 | 18 D2 | 44,6 | 12 | 457,09 | 65,3 |
| UKY 210 51/SC15 | E: 19° 53' 11,6" N: 54° 3' 52,1" | 38 | 1,8 | 13 | 45,5 | 12 | 562,34 | 63,3 |
| ANT3 B 1.2 13 HPX | E: 19° 53' 11,6" N: 54° 3' 52,1" | 72 | 1,2 | 13 | 41,9 | 20 | 1548,82 | 67,3 |

6. Wyniki pomiarów.

Wyniki pomiarów pól elektromagnetycznych dla celów ochrony środowiska przedstawia poniższa tabela. Piony pomiarowe zostały przedstawione w zał. 2.

| pp | Pole-E [V/m] | Pole-E*kE,+U [V/m] | Pole-H [A/m] | Pole-H*kE,+U [A/m] | Wys. pomiaru [m] | Opis pionu | Uwagi | WME | WMH |
|----|--------------|--------------------|--------------|--------------------|------------------|---------------------------------------|---|-----|-----|
| 1 | <0,7* | - | - | - | 1,9 | N: 54° 3' 53,72" E: 19° 53' 11,6" | otoczenie stacji nadawczej - ok. 50 m od obiektu wzdłuż gł. osi promieniowania - GKP | - | - |
| 2 | <0,7* | - | - | - | 1,2 | N: 54° 3' 55,35" E: 19° 53' 11,6" | otoczenie stacji nadawczej - ok. 100 m od obiektu wzdłuż gł. osi promieniowania - GKP | - | - |
| 3 | <0,7* | - | - | - | 1,6 | N: 54° 3' 56,97" E: 19° 53' 11,6" | otoczenie stacji nadawczej - ok. 150 m od obiektu wzdłuż gł. osi promieniowania - GKP | - | - |
| 4 | <0,7* | - | - | - | 2,0 | N: 54° 3' 58,83" E: 19° 53' 12,52" | otoczenie stacji nadawczej - ok. 200 m od obiektu wzdłuż gł. osi promieniowania - GKP | - | - |
| 5 | <0,7* | - | - | - | 1,8 | N: 54° 4' 0,22" E: 19° 53' 11,6" | otoczenie stacji nadawczej - ok. 250 m od obiektu wzdłuż gł. osi promieniowania - GKP | - | - |
| 6 | <0,7* | - | - | - | 1,8 | N: 54° 4' 1,85" E: 19° 53' 11,6" | otoczenie stacji nadawczej - ok. 300 m od obiektu wzdłuż gł. osi promieniowania - GKP | - | - |
| 7 | <0,7* | - | - | - | 1,8 | N: 54° 4' 3,47" E: 19° 53' 11,6" | otoczenie stacji nadawczej - ok. 350 m od obiektu wzdłuż gł. osi promieniowania - GKP | - | - |
| 8 | <0,7* | - | - | - | 1,8 | N: 54° 4' 5,09" E: 19° 53' 11,6" | otoczenie stacji nadawczej - ok. 400 m od obiektu wzdłuż gł. osi promieniowania - GKP | - | - |
| 9 | <0,7* | - | - | - | 1,2 | N: 54° 4' 6,72" E: 19° 53' 11,6" | otoczenie stacji nadawczej - ok. 450 m od obiektu wzdłuż gł. osi promieniowania - GKP | - | - |

| | | | | | | | | | |
|----|-------|------|-------|-------|-----|---------------------------------------|---|-------|-------|
| 10 | <0,7* | - | - | - | 1,8 | N: 54° 4' 8,34" E: 19° 53' 11,6" | otoczenie stacji nadawczej - ok. 500 m od obiektu wzdłuż gł. osi promieniowania - GKP | - | - |
| 11 | <0,7* | - | - | - | 1,4 | N: 54° 4' 9,97" E: 19° 53' 11,6" | otoczenie stacji nadawczej - ok. 550 m od obiektu wzdłuż gł. osi promieniowania - GKP | - | - |
| 12 | <0,7* | - | - | - | 1,8 | N: 54° 4' 11,59" E: 19° 53' 11,6" | otoczenie stacji nadawczej - ok. 600 m od obiektu wzdłuż gł. osi promieniowania - GKP | - | - |
| 13 | 0,8 | 2,08 | 0,002 | 0,006 | 1,7 | N: 54° 4' 13,22" E: 19° 53' 11,6" | otoczenie stacji nadawczej - ok. 650 m od obiektu wzdłuż gł. osi promieniowania - GKP | 0,074 | 0,073 |
| 14 | <0,7* | - | - | - | 1,6 | N: 54° 4' 14,84" E: 19° 53' 11,6" | otoczenie stacji nadawczej - ok. 700 m od obiektu wzdłuż gł. osi promieniowania - GKP | - | - |
| 15 | <0,7* | - | - | - | 1,8 | N: 54° 4' 16,47" E: 19° 53' 11,6" | otoczenie stacji nadawczej - ok. 750 m od obiektu wzdłuż gł. osi promieniowania - GKP | - | - |
| 16 | <0,7* | - | - | - | 1,7 | N: 54° 3' 53,14" E: 19° 53' 13,67" | otoczenie stacji nadawczej - ok. 50 m od obiektu wzdłuż gł. osi promieniowania - GKP | - | - |
| 17 | <0,7* | - | - | - | 1,2 | N: 54° 3' 54,19" E: 19° 53' 15,73" | otoczenie stacji nadawczej - ok. 100 m od obiektu wzdłuż gł. osi promieniowania - GKP | - | - |
| 18 | <0,7* | - | - | - | 1,2 | N: 54° 3' 55,23" E: 19° 53' 17,8" | otoczenie stacji nadawczej - ok. 150 m od obiektu wzdłuż gł. osi promieniowania - GKP | - | - |
| 19 | <0,7* | - | - | - | 1,8 | N: 54° 3' 56,28" E: 19° 53' 19,87" | otoczenie stacji nadawczej - ok. 200 m od obiektu wzdłuż gł. osi promieniowania - GKP | - | - |
| 20 | <0,7* | - | - | - | 1,5 | N: 54° 3' 57,32" E: 19° 53' 21,93" | otoczenie stacji nadawczej - ok. 250 m od obiektu wzdłuż gł. osi promieniowania - GKP | - | - |
| 21 | <0,7* | - | - | - | 2,0 | N: 54° 3' 58,17" E: 19° 53' 24,35" | otoczenie stacji nadawczej - ok. 300 m od obiektu wzdłuż gł. osi promieniowania - GKP | - | - |
| 22 | <0,7* | - | - | - | 1,3 | N: 54° 3' 59,41" E: 19° 53' 26,07" | otoczenie stacji nadawczej - ok. 350 m od obiektu wzdłuż gł. osi promieniowania - GKP | - | - |
| 23 | <0,7* | - | - | - | 1,6 | N: 54° 4' 0,12" E: 19° 53' 28,58" | otoczenie stacji nadawczej - ok. 400 m od obiektu wzdłuż gł. osi promieniowania - GKP | - | - |
| 24 | <0,7* | - | - | - | 1,9 | N: 54° 4' 1,5" E: 19° 53' 30,2" | otoczenie stacji nadawczej - ok. 450 m od obiektu wzdłuż gł. osi promieniowania - GKP | - | - |
| 25 | <0,7* | - | - | - | 1,5 | N: 54° 4' 2,54" E: 19° 53' 32,27" | otoczenie stacji nadawczej - ok. 500 m od obiektu wzdłuż gł. osi promieniowania - GKP | - | - |
| 26 | <0,7* | - | - | - | 1,3 | N: 54° 4' 3,59" E: 19° 53' 34,33" | otoczenie stacji nadawczej - ok. 550 m od obiektu wzdłuż gł. osi promieniowania - GKP | - | - |
| 27 | <0,7* | - | - | - | 2,0 | N: 54° 4' 4,63" E: 19° 53' 36,4" | otoczenie stacji nadawczej - ok. 600 m od obiektu wzdłuż gł. osi promieniowania - GKP | - | - |
| 28 | <0,7* | - | - | - | 1,3 | N: 54° 4' 5,67" E: 19° 53' 38,47" | otoczenie stacji nadawczej - ok. 650 m od obiektu wzdłuż gł. osi promieniowania - GKP | - | - |
| 29 | <0,7* | - | - | - | 1,4 | N: 54° 4' 6,72" E: 19° 53' 40,53" | otoczenie stacji nadawczej - ok. 700 m od obiektu wzdłuż gł. osi promieniowania - GKP | - | - |
| 30 | <0,7* | - | - | - | 1,9 | N: 54° 4' 7,76" E: 19° 53' 42,6" | otoczenie stacji nadawczej - ok. 750 m od obiektu wzdłuż gł. osi promieniowania - GKP | - | - |
| 31 | 0,8 | 2,52 | 0,002 | 0,007 | 1,6 | N: 54° 3' 51,29" E: 19° 53' 13,94" | otoczenie stacji nadawczej - ok. 50 m od obiektu wzdłuż gł. osi promieniowania - GKP | 0,090 | 0,089 |
| 32 | <0,7* | - | - | - | 1,6 | N: 54° 3' 50,48" E: 19° 53' 16,27" | otoczenie stacji nadawczej - ok. 100 m od obiektu wzdłuż gł. osi promieniowania - GKP | - | - |
| 33 | <0,7* | - | - | - | 1,8 | N: 54° 3' 49,66" E: 19° 53' 18,61" | otoczenie stacji nadawczej - ok. 150 m od obiektu wzdłuż gł. osi promieniowania - GKP | - | - |
| 34 | <0,7* | - | - | - | 1,3 | N: 54° 3' 48,85" E: 19° 53' 20,95" | otoczenie stacji nadawczej - ok. 200 m od obiektu wzdłuż gł. osi promieniowania - GKP | - | - |
| 35 | <0,7* | - | - | - | 1,7 | N: 54° 3' 48,04" E: 19° 53' 23,28" | otoczenie stacji nadawczej - ok. 250 m od obiektu wzdłuż gł. osi promieniowania - GKP | - | - |
| 36 | <0,7* | - | - | - | 1,2 | N: 54° 3' 47,23" E: 19° 53' 25,62" | otoczenie stacji nadawczej - ok. 300 m od obiektu wzdłuż gł. osi promieniowania - GKP | - | - |
| 37 | <0,7* | - | - | - | 1,7 | N: 54° 3' 46,41" E: 19° 53' 27,95" | otoczenie stacji nadawczej - ok. 350 m od obiektu wzdłuż gł. osi promieniowania - GKP | - | - |
| 38 | <0,7* | - | - | - | 2,0 | N: 54° 3' 45,6" E: 19° 53' 30,29" | otoczenie stacji nadawczej - ok. 400 m od obiektu wzdłuż gł. osi promieniowania - GKP | - | - |
| 39 | <0,7* | - | - | - | 1,4 | N: 54° 3' 44,79" E: 19° 53' 32,63" | otoczenie stacji nadawczej - ok. 450 m od obiektu wzdłuż gł. osi promieniowania - GKP | - | - |
| 40 | <0,7* | - | - | - | 1,4 | N: 54° 3' 43,98" E: 19° 53' 34,96" | otoczenie stacji nadawczej - ok. 500 m od obiektu wzdłuż gł. osi promieniowania - GKP | - | - |
| 41 | <0,7* | - | - | - | 1,6 | N: 54° 3' 43,17" E: 19° 53' 37,3" | otoczenie stacji nadawczej - ok. 550 m od obiektu wzdłuż gł. osi promieniowania - GKP | - | - |
| 42 | <0,7* | - | - | - | 1,9 | N: 54° 3' 42,35" E: 19° 53' 39,64" | otoczenie stacji nadawczej - ok. 600 m od obiektu wzdłuż gł. osi promieniowania - GKP | - | - |

„Bez pisemnej zgody Laboratorium niniejsze sprawozdanie nie może być powielane inaczej, jak tylko w całości. Ponadto wyniki dotyczą tylko badanych obiektów przywołanych w niniejszym sprawozdaniu z badań”

| | | | | | | | | | |
|----|-------|---|---|---|-----|---------------------------------------|---|---|---|
| 43 | <0,7* | - | - | - | 1,4 | N: 54° 3' 41,54" E: 19° 53' 41,97" | otoczenie stacji nadawczej - ok. 650 m od obiektu wzdłuż gł. osi promieniowania - GKP | - | - |
| 44 | <0,7* | - | - | - | 1,3 | N: 54° 3' 40,73" E: 19° 53' 44,31" | otoczenie stacji nadawczej - ok. 700 m od obiektu wzdłuż gł. osi promieniowania - GKP | - | - |
| 45 | <0,7* | - | - | - | 1,9 | N: 54° 3' 39,92" E: 19° 53' 46,65" | otoczenie stacji nadawczej - ok. 750 m od obiektu wzdłuż gł. osi promieniowania - GKP | - | - |
| 46 | <0,7* | - | - | - | 1,2 | N: 54° 3' 50,57" E: 19° 53' 12,52" | otoczenie stacji nadawczej - ok. 50 m od obiektu wzdłuż gł. osi promieniowania - GKP | - | - |
| 47 | <0,7* | - | - | - | 1,7 | N: 54° 3' 49,05" E: 19° 53' 13,45" | otoczenie stacji nadawczej - ok. 100 m od obiektu wzdłuż gł. osi promieniowania - GKP | - | - |
| 48 | <0,7* | - | - | - | 1,4 | N: 54° 3' 47,52" E: 19° 53' 14,37" | otoczenie stacji nadawczej - ok. 150 m od obiektu wzdłuż gł. osi promieniowania - GKP | - | - |
| 49 | <0,7* | - | - | - | 1,3 | N: 54° 3' 45,99" E: 19° 53' 15,29" | otoczenie stacji nadawczej - ok. 200 m od obiektu wzdłuż gł. osi promieniowania - GKP | - | - |
| 50 | <0,7* | - | - | - | 1,9 | N: 54° 3' 44,47" E: 19° 53' 16,21" | otoczenie stacji nadawczej - ok. 250 m od obiektu wzdłuż gł. osi promieniowania - GKP | - | - |
| 51 | <0,7* | - | - | - | 1,2 | N: 54° 3' 42,94" E: 19° 53' 17,14" | otoczenie stacji nadawczej - ok. 300 m od obiektu wzdłuż gł. osi promieniowania - GKP | - | - |
| 52 | <0,7* | - | - | - | 1,8 | N: 54° 3' 41,42" E: 19° 53' 18,06" | otoczenie stacji nadawczej - ok. 350 m od obiektu wzdłuż gł. osi promieniowania - GKP | - | - |
| 53 | <0,7* | - | - | - | 1,6 | N: 54° 3' 39,89" E: 19° 53' 18,98" | otoczenie stacji nadawczej - ok. 400 m od obiektu wzdłuż gł. osi promieniowania - GKP | - | - |
| 54 | <0,7* | - | - | - | 1,3 | N: 54° 3' 38,36" E: 19° 53' 19,9" | otoczenie stacji nadawczej - ok. 450 m od obiektu wzdłuż gł. osi promieniowania - GKP | - | - |
| 55 | <0,7* | - | - | - | 1,7 | N: 54° 3' 36,84" E: 19° 53' 20,83" | otoczenie stacji nadawczej - ok. 500 m od obiektu wzdłuż gł. osi promieniowania - GKP | - | - |
| 56 | <0,7* | - | - | - | 1,7 | N: 54° 3' 35,31" E: 19° 53' 21,75" | otoczenie stacji nadawczej - ok. 550 m od obiektu wzdłuż gł. osi promieniowania - GKP | - | - |
| 57 | <0,7* | - | - | - | 1,6 | N: 54° 3' 33,78" E: 19° 53' 22,67" | otoczenie stacji nadawczej - ok. 600 m od obiektu wzdłuż gł. osi promieniowania - GKP | - | - |
| 58 | <0,7* | - | - | - | 1,8 | N: 54° 3' 32,26" E: 19° 53' 23,6" | otoczenie stacji nadawczej - ok. 650 m od obiektu wzdłuż gł. osi promieniowania - GKP | - | - |
| 59 | <0,7* | - | - | - | 1,2 | N: 54° 3' 30,73" E: 19° 53' 24,52" | otoczenie stacji nadawczej - ok. 700 m od obiektu wzdłuż gł. osi promieniowania - GKP | - | - |
| 60 | <0,7* | - | - | - | 1,6 | N: 54° 3' 29,2" E: 19° 53' 25,44" | otoczenie stacji nadawczej - ok. 750 m od obiektu wzdłuż gł. osi promieniowania - GKP | - | - |
| 61 | <0,7* | - | - | - | 1,7 | N: 54° 3' 51,29" E: 19° 53' 9,26" | otoczenie stacji nadawczej - ok. 50 m od obiektu wzdłuż gł. osi promieniowania - GKP | - | - |
| 62 | <0,7* | - | - | - | 1,4 | N: 54° 3' 50,48" E: 19° 53' 6,93" | otoczenie stacji nadawczej - ok. 100 m od obiektu wzdłuż gł. osi promieniowania - GKP | - | - |
| 63 | <0,7* | - | - | - | 1,7 | N: 54° 3' 49,56" E: 19° 53' 4,63" | otoczenie stacji nadawczej - ok. 150 m od obiektu wzdłuż gł. osi promieniowania - GKP | - | - |
| 64 | <0,7* | - | - | - | 1,8 | N: 54° 3' 48,85" E: 19° 53' 2,25" | otoczenie stacji nadawczej - ok. 200 m od obiektu wzdłuż gł. osi promieniowania - GKP | - | - |
| 65 | <0,7* | - | - | - | 1,6 | N: 54° 3' 48,04" E: 19° 52' 59,92" | otoczenie stacji nadawczej - ok. 250 m od obiektu wzdłuż gł. osi promieniowania - GKP | - | - |
| 66 | <0,7* | - | - | - | 1,2 | N: 54° 3' 47,23" E: 19° 52' 57,58" | otoczenie stacji nadawczej - ok. 300 m od obiektu wzdłuż gł. osi promieniowania - GKP | - | - |
| 67 | <0,7* | - | - | - | 2,0 | N: 54° 3' 46,41" E: 19° 52' 55,25" | otoczenie stacji nadawczej - ok. 350 m od obiektu wzdłuż gł. osi promieniowania - GKP | - | - |
| 68 | <0,7* | - | - | - | 1,3 | N: 54° 3' 45,6" E: 19° 52' 52,91" | otoczenie stacji nadawczej - ok. 400 m od obiektu wzdłuż gł. osi promieniowania - GKP | - | - |
| 69 | <0,7* | - | - | - | 1,7 | N: 54° 3' 44,79" E: 19° 52' 50,57" | otoczenie stacji nadawczej - ok. 450 m od obiektu wzdłuż gł. osi promieniowania - GKP | - | - |
| 70 | <0,7* | - | - | - | 1,2 | N: 54° 3' 43,98" E: 19° 52' 48,24" | otoczenie stacji nadawczej - ok. 500 m od obiektu wzdłuż gł. osi promieniowania - GKP | - | - |
| 71 | <0,7* | - | - | - | 1,6 | N: 54° 3' 43,17" E: 19° 52' 45,9" | otoczenie stacji nadawczej - ok. 550 m od obiektu wzdłuż gł. osi promieniowania - GKP | - | - |
| 72 | <0,7* | - | - | - | 1,8 | N: 54° 3' 42,35" E: 19° 52' 43,56" | otoczenie stacji nadawczej - ok. 600 m od obiektu wzdłuż gł. osi promieniowania - GKP | - | - |
| 73 | <0,7* | - | - | - | 2,0 | N: 54° 3' 41,54" E: 19° 52' 41,23" | otoczenie stacji nadawczej - ok. 650 m od obiektu wzdłuż gł. osi promieniowania - GKP | - | - |
| 74 | <0,7* | - | - | - | 1,8 | N: 54° 3' 40,73" E: 19° 52' 38,89" | otoczenie stacji nadawczej - ok. 700 m od obiektu wzdłuż gł. osi promieniowania - GKP | - | - |
| 75 | <0,7* | - | - | - | 1,2 | N: 54° 3' 39,92" E: 19° 52' 36,55" | otoczenie stacji nadawczej - ok. 750 m od obiektu wzdłuż gł. osi promieniowania - GKP | - | - |

„Bez pisemnej zgody Laboratorium niniejsze sprawozdanie nie może być powielane inaczej, jak tylko w całości. Ponadto wyniki dotyczą tylko badanych obiektów przywołanych w niniejszym sprawozdaniu z badań”

| | | | | | | | | | |
|-----|-------|---|---|---|-----|---------------------------------------|---|---|---|
| 76 | <0,7* | - | - | - | 1,3 | N: 54° 3' 52,66" E: 19° 53' 9,06" | otoczenie stacji nadawczej - ok. 50 m od obiektu wzdłuż gł. osi promieniowania - GKP | - | - |
| 77 | <0,7* | - | - | - | 1,6 | N: 54° 3' 53,21" E: 19° 53' 6,53" | otoczenie stacji nadawczej - ok. 100 m od obiektu wzdłuż gł. osi promieniowania - GKP | - | - |
| 78 | <0,7* | - | - | - | 1,6 | N: 54° 3' 53,77" E: 19° 53' 3,99" | otoczenie stacji nadawczej - ok. 150 m od obiektu wzdłuż gł. osi promieniowania - GKP | - | - |
| 79 | <0,7* | - | - | - | 1,7 | N: 54° 3' 54,32" E: 19° 53' 1,46" | otoczenie stacji nadawczej - ok. 200 m od obiektu wzdłuż gł. osi promieniowania - GKP | - | - |
| 80 | <0,7* | - | - | - | 1,9 | N: 54° 3' 54,88" E: 19° 52' 58,92" | otoczenie stacji nadawczej - ok. 250 m od obiektu wzdłuż gł. osi promieniowania - GKP | - | - |
| 81 | <0,7* | - | - | - | 1,5 | N: 54° 3' 55,43" E: 19° 52' 56,39" | otoczenie stacji nadawczej - ok. 300 m od obiektu wzdłuż gł. osi promieniowania - GKP | - | - |
| 82 | <0,7* | - | - | - | 1,6 | N: 54° 3' 55,99" E: 19° 52' 53,85" | otoczenie stacji nadawczej - ok. 350 m od obiektu wzdłuż gł. osi promieniowania - GKP | - | - |
| 83 | <0,7* | - | - | - | 1,4 | N: 54° 3' 56,54" E: 19° 52' 51,32" | otoczenie stacji nadawczej - ok. 400 m od obiektu wzdłuż gł. osi promieniowania - GKP | - | - |
| 84 | <0,7* | - | - | - | 1,5 | N: 54° 3' 57,1" E: 19° 52' 48,78" | otoczenie stacji nadawczej - ok. 450 m od obiektu wzdłuż gł. osi promieniowania - GKP | - | - |
| 85 | <0,7* | - | - | - | 1,5 | N: 54° 3' 57,66" E: 19° 52' 46,25" | otoczenie stacji nadawczej - ok. 500 m od obiektu wzdłuż gł. osi promieniowania - GKP | - | - |
| 86 | <0,7* | - | - | - | 1,5 | N: 54° 3' 58,21" E: 19° 52' 43,71" | otoczenie stacji nadawczej - ok. 550 m od obiektu wzdłuż gł. osi promieniowania - GKP | - | - |
| 87 | <0,7* | - | - | - | 1,4 | N: 54° 3' 58,77" E: 19° 52' 41,18" | otoczenie stacji nadawczej - ok. 600 m od obiektu wzdłuż gł. osi promieniowania - GKP | - | - |
| 88 | <0,7* | - | - | - | 1,6 | N: 54° 3' 59,32" E: 19° 52' 38,64" | otoczenie stacji nadawczej - ok. 650 m od obiektu wzdłuż gł. osi promieniowania - GKP | - | - |
| 89 | <0,7* | - | - | - | 1,5 | N: 54° 3' 59,88" E: 19° 52' 36,11" | otoczenie stacji nadawczej - ok. 700 m od obiektu wzdłuż gł. osi promieniowania - GKP | - | - |
| 90 | <0,7* | - | - | - | 1,3 | N: 54° 4' 0,43" E: 19° 52' 33,57" | otoczenie stacji nadawczej - ok. 750 m od obiektu wzdłuż gł. osi promieniowania - GKP | - | - |
| 91 | <0,7* | - | - | - | 1,9 | N: 54° 3' 56,84" E: 19° 53' 13,37" | otoczenie stacji nadawczej - ok. 150 m od obiektu wzdłuż gł. osi promieniowania - GKP | - | - |
| 92 | <0,7* | - | - | - | 1,8 | N: 54° 3' 55,3" E: 19° 53' 12,99" | otoczenie stacji nadawczej - ok. 100 m od obiektu wzdłuż gł. osi promieniowania - GKP | - | - |
| 93 | <0,7* | - | - | - | 1,7 | N: 54° 3' 53,62" E: 19° 53' 12,8" | otoczenie stacji nadawczej - ok. 50 m od obiektu wzdłuż gł. osi promieniowania - GKP | - | - |
| 94 | <0,7* | - | - | - | 1,4 | N: 54° 3' 54,75" E: 19° 53' 14,78" | otoczenie stacji nadawczej - ok. 100 m od obiektu wzdłuż gł. osi promieniowania - GKP | - | - |
| 95 | <0,7* | - | - | - | 1,2 | N: 54° 3' 55,91" E: 19° 53' 16,73" | otoczenie stacji nadawczej - ok. 150 m od obiektu wzdłuż gł. osi promieniowania - GKP | - | - |
| 96 | <0,7* | - | - | - | 1,4 | N: 54° 3' 54,22" E: 19° 53' 18,8" | otoczenie stacji nadawczej - PKP | - | - |
| 97 | <0,7* | - | - | - | 1,5 | N: 54° 3' 53,37" E: 19° 53' 16,57" | otoczenie stacji nadawczej - ok. 100 m od obiektu wzdłuż gł. osi promieniowania - GKP | - | - |
| 98 | <0,7* | - | - | - | 1,3 | N: 54° 3' 52,41" E: 19° 53' 14,33" | otoczenie stacji nadawczej - ok. 50 m od obiektu wzdłuż gł. osi promieniowania - GKP | - | - |
| 99 | <0,7* | - | - | - | 1,3 | N: 54° 3' 51,48" E: 19° 53' 17,07" | otoczenie stacji nadawczej - PKP | - | - |
| 100 | <0,7* | - | - | - | 1,9 | N: 54° 3' 50,52" E: 19° 53' 19,42" | otoczenie stacji nadawczej - PKP | - | - |
| 101 | <0,7* | - | - | - | 1,3 | N: 54° 3' 48,98" E: 19° 53' 17,77" | otoczenie stacji nadawczej - PKP | - | - |
| 102 | <0,7* | - | - | - | 1,7 | N: 54° 3' 49,9" E: 19° 53' 15,53" | otoczenie stacji nadawczej - PKP | - | - |
| 103 | <0,7* | - | - | - | 1,5 | N: 54° 3' 50,57" E: 19° 53' 13,71" | otoczenie stacji nadawczej - PKP | - | - |
| 104 | <0,7* | - | - | - | 1,9 | N: 54° 3' 49,31" E: 19° 53' 14,68" | otoczenie stacji nadawczej - PKP | - | - |
| 105 | <0,7* | - | - | - | 1,5 | N: 54° 3' 47,86" E: 19° 53' 15,7" | otoczenie stacji nadawczej - PKP | - | - |
| 106 | <0,7* | - | - | - | 1,3 | N: 54° 3' 47,23" E: 19° 53' 12,87" | otoczenie stacji nadawczej - PKP | - | - |
| 107 | <0,7* | - | - | - | 1,3 | N: 54° 3' 48,89" E: 19° 53' 12,01" | otoczenie stacji nadawczej - PKP | - | - |
| 108 | <0,7* | - | - | - | 1,8 | N: 54° 3' 50,45" E: 19° 53' 10,92" | otoczenie stacji nadawczej - PKP | - | - |

„Bez pisemnej zgody Laboratorium niniejsze sprawozdanie nie może być powielane inaczej, jak tylko w całości. Ponadto wyniki dotyczą tylko badanych obiektów przywołanych w niniejszym sprawozdaniu z badań”
30/06/OŚ/2020 - ELT

| | | | | | | | | | |
|-----|-------|---|---|---|-----|---------------------------------------|--|---|---|
| 109 | <0,7* | - | - | - | 1,4 | N: 54° 3' 49,56" E: 19° 53' 7,84" | otoczenie stacji nadawczej - PKP | - | - |
| 110 | <0,7* | - | - | - | 1,7 | N: 54° 3' 48,55" E: 19° 53' 6,01" | otoczenie stacji nadawczej - PKP | - | - |
| 111 | <0,7* | - | - | - | 2,0 | N: 54° 3' 50,11" E: 19° 53' 4,11" | otoczenie stacji nadawczej - PKP | - | - |
| 112 | <0,7* | - | - | - | 1,4 | N: 54° 3' 51,3" E: 19° 53' 6,42" | otoczenie stacji nadawczej - PKP | - | - |
| 113 | <0,7* | - | - | - | 1,9 | N: 54° 3' 51,95" E: 19° 53' 8,97" | otoczenie stacji nadawczej - PKP | - | - |
| 114 | <0,7* | - | - | - | 1,7 | N: 54° 3' 52,56" E: 19° 53' 6,12" | otoczenie stacji nadawczej - PKP | - | - |
| 115 | <0,7* | - | - | - | 1,9 | N: 54° 3' 52,96" E: 19° 53' 3,44" | otoczenie stacji nadawczej - PKP | - | - |
| 116 | <0,7* | - | - | - | 1,6 | N: 54° 3' 55,18" E: 19° 53' 5,45" | otoczenie stacji nadawczej - PKP | - | - |
| 117 | <0,7* | - | - | - | 1,5 | N: 54° 3' 54,26" E: 19° 53' 7,46" | otoczenie stacji nadawczej - PKP | - | - |
| 118 | <0,7* | - | - | - | 1,8 | N: 54° 3' 53,52" E: 19° 53' 10,17" | otoczenie stacji nadawczej - PKP | - | - |
| 119 | <0,7* | - | - | - | 1,3 | N: 54° 3' 55,15" E: 19° 53' 9,94" | otoczenie stacji nadawczej - PKP | - | - |
| 120 | <0,7* | - | - | - | 1,5 | N: 54° 3' 56,86" E: 19° 53' 9,94" | otoczenie stacji nadawczej - PKP | - | - |
| A | <0,7* | - | - | - | 1,5 | - | Skowrony 9, pomiar przed wejściem - DPP | - | - |
| B | <0,7* | - | - | - | 1,4 | - | Skowrony 56, pomiar przed wejściem - DPP | - | - |
| C | <0,7* | - | - | - | 1,4 | - | Skowrony 27, pomiar przed wejściem - DPP | - | - |
| D | <0,7* | - | - | - | 1,9 | - | Skowrony 32, pomiar przed wejściem - DPP | - | - |
| E | <0,7* | - | - | - | 1,2 | - | Skowrony 14, pomiar przed wejściem - DPP | - | - |
| F | <0,7* | - | - | - | 1,8 | - | Skowrony 13, pomiar przed wejściem - DPP | - | - |

* poniżej czułości zestawu pomiarowego

GKP – główne kierunki pomiarowe

PKP – pomocnicze kierunki pomiarowe

DPP – dodatkowe punkty pomiarowe

PP – pion pomiarowy

U – niepewność pomiarowa dla współczynnika rozszerzenia $k=2$

k_E – poprawka pomiarowa badanej instalacji radiokomunikacyjnej podana przez operatora ($k_E=1,65$),

poprawka pomiarowa w przypadku oddziaływania innych instalacji radiokomunikacyjnych na badany obszar ($k_E=2,0$)

WME – wartość wskaźnikowa poziomu emisji pól elektromagnetycznych dla miejsc dostępnych dla ludności dla składowej elektrycznej pola

WMH – wartość wskaźnikowa poziomu emisji pól elektromagnetycznych dla miejsc dostępnych dla ludności dla składowej magnetycznej pola

Przyjęto najniższą dopuszczalną wartość składowej elektrycznej pola dla objętego pomiarami zakresu częstotliwości $\min(ME_{gr})=28,000$ V/m oraz składowej magnetycznej $\min(MH_{gr})=0,075$ A/m.

7. Stwierdzenie zgodności

Na podstawie wytycznych podanych w Rozporządzeniu Ministra Zdrowia z dnia 17 grudnia 2019 r. w sprawie dopuszczalnych poziomów pól elektromagnetycznych w środowisku (Dz.U. 2019 poz. 2448) oraz sposobów sprawdzania dotrzymania tych poziomów zgodnie z Rozporządzeniem Ministra Klimatu z dnia 17 lutego 2020 r. w sprawie sposobów sprawdzania dotrzymania dopuszczalnych poziomów pól elektromagnetycznych w środowisku (Dz.U. 2020 poz. 258) dotyczących źródła wymagań, które muszą być spełnione (załącznik do rozporządzenia Ministra Klimatu z dnia 17 lutego 2020 r. (poz. 258)), w oparciu o zasadę podejmowania decyzji zgodną z pkt 26 załącznika do rozporządzenia Ministra Klimatu z dnia 17 lutego 2020 r. (poz. 258), na podstawie wyników pomiarów pól elektromagnetycznych wykonanych w dniu 18.06.2020r. stwierdzono, iż w miejscach dostępnych dla ludności, dopuszczalne poziomy pól elektromagnetycznych w środowisku, określone w przepisach wydanych na podstawie art. 122 ust. 1 ustawy z dnia 27 kwietnia 2001 r. – Prawo ochrony środowiska, uznaje się za dotrzymane w obszarze pomiarowym, w którym w wyniku zastosowania sposobu sprawdzenia dotrzymania dopuszczalnych poziomów pól

„Bez pisemnej zgody Laboratorium niniejsze sprawozdanie nie może być powielane inaczej, jak tylko w całości. Ponadto wyniki dotyczą tylko badanych obiektów przywołanych w niniejszym sprawozdaniu z badań”

elektromagnetycznych w środowisku, udokumentowano, że żadna z wartości wskaźnikowych nie przekracza wartości 1.



8. Oświadczenie.

Wyniki badania odnoszą się wyłącznie do badanego obiektu.

Bez pisemnej zgody sprawozdanie nie może być powielane inaczej, jak tylko w całości.

Uwagi i zastrzeżenia przyjmowane są w formie pisemnej w ciągu 14 dni od daty otrzymania sprawozdania.

9. Spis załączników.

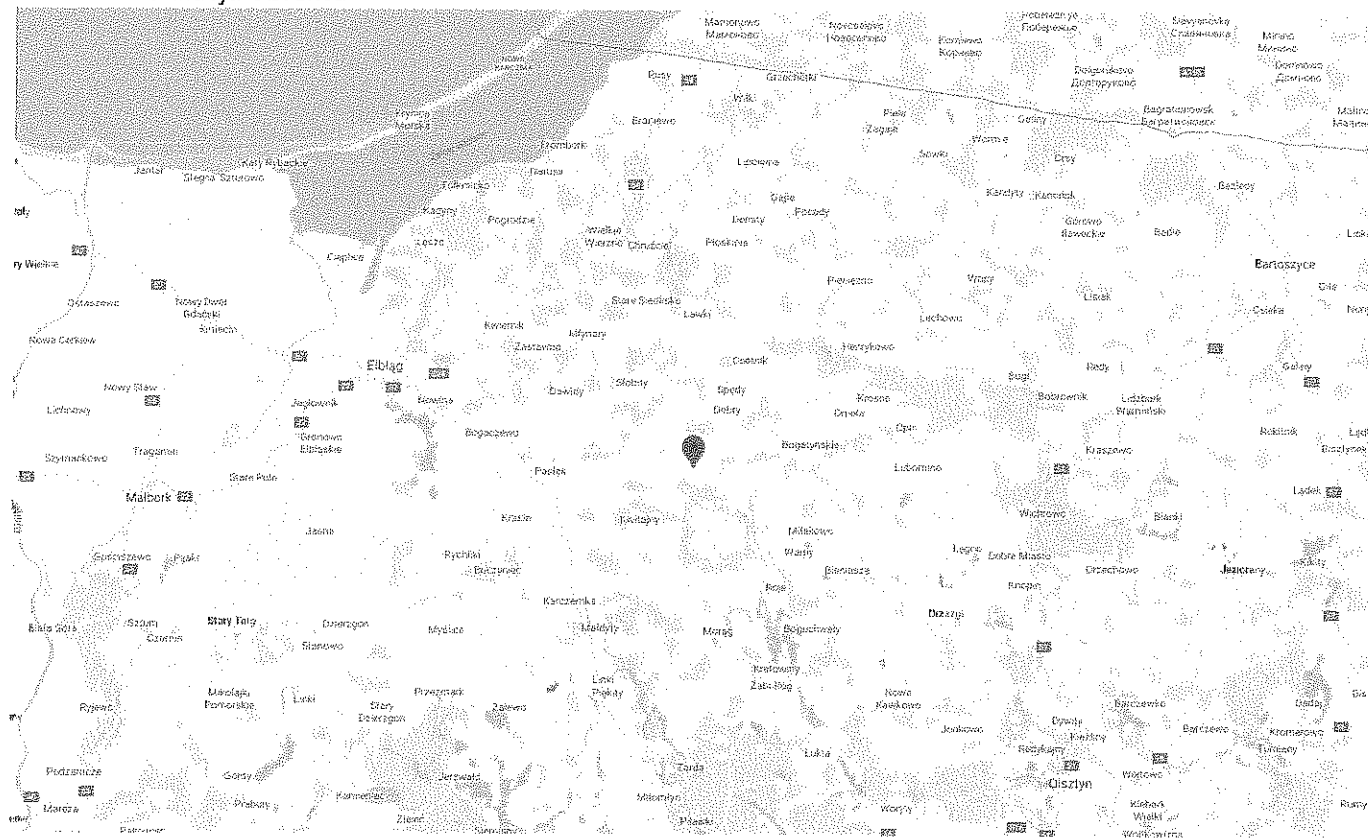
Zał. 1. Lokalizacja obiektu.

Zał. 2. Widok pionów pomiarowych

Zał. 3. Załączniki graficzne.

Koniec sprawozdania

Zař. 1. Lokalizacja obiektu



województwo: warmińsko-mazurskie

| Wspóřrdne geograficzne | |
|------------------------|------------------|
| długość: | E: 19° 53' 11,6" |
| szerokość: | N: 54° 3' 52,1" |

Załącznik 2. Widok pionów pomiarowych



LEGENDA:

- | | | | |
|---|------------------------------------|---|--|
|  | inna instalacja radiokomunikacyjna |  | punkt pomiarowy z poprawką pomiarową podaną przez operatora |
|  | brak dostępu |  | punkt pomiarowy będący w zasięgu innych instalacji radiokomunikacyjnych z poprawką pomiarową 2,0 |
| | |  | antena sektorowa |
| | |  | antena radioliniowa |

Odległość, do której zostały wykonane pomiary mierząc od instalacji antenowej wynosi min. 710 m.

Skala: 1:9100

Zał. 3. Załączniki graficzne.

